

УДК 519.254: 534.2: 550.34

## ОБРАТНЫЕ ЗАДАЧИ ГЕОЛОКАЦИИ В МОНИТОРИНГОВЫХ СИСТЕМАХ

© М. С. Хайретдинов<sup>1,2</sup>, Г. М. Шиманская<sup>1</sup>, О. А. Копылова<sup>1</sup>,  
А. А. Якименко<sup>2</sup>

<sup>1</sup>Институт вычислительной математики и математической геофизики СО РАН,  
630090, г. Новосибирск, просп. Академика Лаврентьева, 6

<sup>2</sup>Новосибирский государственный технический университет,  
630092, г. Новосибирск, просп. К. Маркса, 20  
E-mail: marat@opg.ssc.ru

Рассматриваются методы решения задач геофизического мониторинга окружающей среды по отношению к мощным импульсным источникам — карьерным взрывам, падающим на Землю телам в виде отработанных ступеней ракет при спутниковых запусках, осколков метеоритов и др. Общая постановка исследования сформулирована как решение обратной задачи восстановления параметров источника по его сейсмическим и акустическим волнам. Проведено численное моделирование, и выполнены экспериментальные исследования предлагаемых методов для оценивания точности пространственной локализации источников на примере использования калибровочных пространственно распределённых взрывов.

**Ключевые слова:** импульсные источники, геоакустический мониторинг, геолокация, обратная задача, поисковая оптимизация, численное моделирование, полевой эксперимент.

DOI: 10.15372/AUT20250307

EDN: XLWHKG

**Введение.** К числу важных проблем геоэкологического мониторинга окружающей среды относится задача обнаружения и определения местоположения мощных источников импульсной природы — различных карьерных и полигонных взрывов, падающих на Землю тел в виде отработанных ступеней ракет при спутниковых запусках, ударных машин на строительных объектах, осколков метеоритов и др. — по сейсмическим волнам в Земле и акустическим в атмосфере, порождаемым такими источниками. Актуальность решения подобных задач определяется геоэкологическими рисками для окружающей социальной инфраструктуры и прежде всего для людей, которые порождают такого типа источники. В частности, это относится к разрушительным последствиям от взрывов в районах проведения угледобычи открытым способом, что характерно для угледобывающей области Кузбасса. В рассматриваемых ситуациях экологические риски, оцениваемые удельной плотностью акустической энергии, могут многократно возрастать (в 50 раз и более) из-за развивающегося явления пространственной фокусировки геоакустических волновых полей в заданном азимутальном направлении в результате взаимодействия с метеофакторами (направлением и скоростью ветра, влажностью и др.), а также характерного покрова земной поверхности [1–3].

В данной работе рассмотрены новые подходы к решению первоначально обозначенных задач. Их эффективность оценивается по критериям помехозащищённости и точности и подтверждается результатами численного моделирования и натурного эксперимента.

**Совместная постановка задачи геолокации.** Задача оценки неизвестных параметров источника сводится к решению нелинейной системы условных уравнений:

$$\mathbf{t} = \boldsymbol{\eta}(\mathbf{X}, \boldsymbol{\theta}) + \boldsymbol{\varepsilon}, \quad (1)$$

где  $\boldsymbol{\eta}(X, \theta)$  —  $N$ -мерный вектор вычисляемых времён пробега (теоретический годограф) или функция регрессии;  $\boldsymbol{\varepsilon} = (\varepsilon_1, \dots, \varepsilon_N)^\top$  — вектор невязок;  $\mathbf{t} = (t_1, t_2, \dots, t_N)$  — вектор времён вступлений сейсмических волн;  $\boldsymbol{\theta} = (x, y, z, v, t)^\top$  —  $m$ -мерный вектор оцениваемых параметров;  $X = (\mathbf{x}_1, \mathbf{x}_2, \dots, \mathbf{x}_N)$  — матрица координат датчиков (или точек излучения), а  $N$  — число датчиков (или точек излучения).

Определяемыми параметрами выступают скорость характеристика среды  $v$  и время в источнике  $t_i$ , пространственные координаты источника —  $x, y, z$ . Иногда скорость в среде является известной. При оценке параметров используют сведения о распределении ошибок  $\varepsilon_i = t_i(\mathbf{x}_i, \boldsymbol{\theta}) - \eta(\mathbf{x}_i, \boldsymbol{\theta})$ . В дальнейшем будем предполагать, что  $\varepsilon_i$  — взаимно независимые случайные величины, имеющие распределение с нулевым средним и заданными дисперсиями:

$$E\varepsilon_i = 0, \quad E\varepsilon_i\varepsilon_j = \sigma_i^2\delta_{ij}, \quad \sigma_i = \sigma(\mathbf{x}_i).$$

Здесь  $\delta_{ij}$  — символ Кронекера,  $i = 1, 2, \dots, N$ .

Когда возникают затруднения с заданием дисперсий, то можно принять их равными и получить несмещённую оценку дисперсии наблюдения с единичным весом.

Исходные сейсмические колебания в Земле с учётом характеристик регистраторов описываются в виде модели

$$y_k(t_i) = A_k h_k L[u(t_i - \Delta t_k) + n_k(t_i)]. \quad (2)$$

Здесь  $A_k$  — амплитуда колебания на  $k$ -м датчике;  $h_k$  — чувствительность датчика;  $L$  — оператор фильтрации сигнала;  $u(t_i - \Delta t_k)$  — полезный, априори неизвестный сигнал;  $n_k(t)$  — внешний шум с корреляционной функцией  $r_k(\tau)$ .

Вследствие решения задачи (1) для топологии регистрирующей системы с набором датчиков с линейной расстановкой возникают задачи обнаружения и интерпретации, связанные с совместным определением по совокупности датчиков времён вступлений априори неизвестных, но близких по форме волн (волновых форм) в пределах регистрирующего профиля. Теория алгоритмов интерпретации в геофизике связана с необходимостью прослеживания корреляции волн неизвестной формы вдоль регистрирующего профиля [4].

В представленной работе предлагается и рассматривается апостериорный подход к решению задачи по всем накопленным данным профильной регистрации. Его алгоритмическая реализация сопряжена с решением трудоёмких в вычислительном плане задач дискретной оптимизации. Предлагается и исследуется иной малоизученный применительно к геофизическому мониторингу подход, в рамках которого решение задачи находится в едином процессе дискретной оптимизации без разбиения задачи на этапы. При этом возможны две формы обнаружения: либо оценивание непосредственно времён прихода волн, либо получение одновременно оценки времён прихода и формы волновых импульсов.

Особенность решения обеих задач связана с учётом вариаций времён вступления волн между соседними датчиками, определяющих ошибки оценивания годографа, — линии вступления волн в зависимости от координат точек возбуждения и наблюдения. Такие вариации определяются рядом факторов: погрешностью позиционирования автономных регистрирующих систем на линейном профиле по сигналам GPS, погрешностью временной синхронизации по сигналам GPS каждой из автономных систем, вариациями времён пробега волн в цепи источник — приёмник. С учётом этого в дальнейшем по отношению к набору регистрируемых последовательностей вводится понятие квазипериодических последовательностей, означающее, что временнóй интервал между двумя последовательными импульсами варьируется в пределах заданных сверху и снизу констант. Соответственно,

далее будут рассматриваться алгоритмы, которые предназначены для обработки последовательностей, изменяющих свои свойства квазипериодически и искажённых гауссовой помехой [5].

При решении задач предлагается следующая модель анализируемых данных. Пусть компоненты вектора  $\mathbf{X} = (x_0, \dots, x_{N-1}) \in \mathbb{R}^N$  образуют последовательность волновых форм в виде, где

$$x_n = \sum_{m=1}^M u_{n-n_m}(m), \quad n = 0, \dots, N-1. \quad (3)$$

Здесь  $M$  — число волновых форм в последовательности. Условие варьирования временного интервала между импульсами (указанными выше) запишем в виде

$$q \leq T_{\min} \leq n_m - n_{m-1} \leq T_{\max}, \quad m = 2, \dots, M, \quad (4)$$

где  $T_{\min}$  и  $T_{\max}$  — минимальный и максимальный интервалы между двумя последовательными волновыми формами, задаваемые натуральными числами. Их выбор определяется с учётом характера погрешностей, отмеченных выше.

Положим  $U_m = (u_0(m), \dots, u_{q-1}(m))$ ,  $m = 1, \dots, M$ . Принимаем, что  $0 < \|U_m\|^2 < \infty$ ,  $m = 1, \dots, M$ . Введём  $w = (U_1, \dots, U_M)$  и  $\eta = (n_1, \dots, n_M)$ . Согласно введённым обозначениям, вектор  $\mathbf{X}$  зависит от пары наборов  $\eta$  и  $w$ , содержащих одинаковое число  $M$  элементов, т. е.  $\mathbf{X} = \mathbf{X}(\eta, w)$ . Пусть случайный вектор  $\mathbf{Y} = (y_0, \dots, y_{N-1})$  есть сумма двух независимых векторов  $\mathbf{Y} = \mathbf{X}(\eta, w) + \boldsymbol{\Xi}$ , где вектор шумов  $\boldsymbol{\Xi} = (e_0, \dots, e_{N-1}) \in \Phi_{x, \sigma^2 I}$ ,  $\sigma^2 < \infty$ . Здесь через  $\Phi_{x, \sigma^2 I}$  обозначено нормальное распределение с параметрами  $(0, \sigma^2 I)$ .

С учётом этого задача обнаружения квазипериодических последовательностей волновых форм состоит в том, чтобы по наблюдаемому вектору  $\mathbf{Y}$  найти набор  $\eta$ , в соответствии с которым порождён ненаблюдаемый вектор  $\mathbf{X}(\eta, w)$ . В этой модели компоненты векторов  $\mathbf{Y}$  и  $\mathbf{X}$  соответствуют наблюдаемому и ненаблюдаемому сигналам, а компоненты вектора  $\boldsymbol{\Xi}$  — помехе. Номера компонент векторов ассоциируются с равномерным дискретным временем. Элементам набора  $(n_1, \dots, n_M)$  сопоставляются моменты времени вступления (начала) волновых форм  $\hat{\eta} = (\hat{n}_1, \dots, \hat{n}_N)^\top$ ;  $q$ -мерный набор  $U_m$  ( $m = 1, \dots, M$ ) соответствует волновой форме.

Для решения задач применяется принцип максимального правдоподобия. Помехоустойчивое максимально правдоподобное обнаружение заданного числа неизвестных волновых форм моделируется следующей дискретной экстремальной задачей.

**Задача 1.** Дано: числовая последовательность  $Y = (y_0, \dots, y_{N-1})$ , натуральные числа  $q, M, T_{\min}$  и  $T_{\max}$ . Найти: набор  $\eta = (n_1, \dots, n_M) \in \Omega_M$  такой, что

$$F(n_1, \dots, n_M) = \sum_{m=1}^M \sum_{k=0}^{q-1} y_{n_m+k}^2 \rightarrow \max. \quad (5)$$

В случае, когда все волновые формы идентичны, т. е.  $U_m = U = (u_0, \dots, u_{q-1})$  для каждого  $m = 1, \dots, M$ , а их число  $M$  неизвестно, проблема обнаружения этих форм индуцирует следующую экстремальную задачу.

**Задача 2.** Дано: числовая последовательность  $Y = (y_0, \dots, y_{N-1})$ , вектор  $\mathbf{U}(u_0, \dots, u_{q-1})$ , натуральные числа  $T_{\min}$  и  $T_{\max}$ . Найти: набор  $\eta = (n_1, \dots, n_M) \in \Omega_M$  и его размерность такие, что

$$S(n_1, \dots, n_M) = \sum_{m=1}^M \sum_{k=0}^{q-1} u_k(u_k - 2y_{n_i+k}) \rightarrow \min. \quad (6)$$

**Методы решения.** Решение задач (5), (6) связано со случайным перебором, поэтому они относятся к числу NP-трудных. Рассмотрен подход к их решению на основе динамического программирования для ухода от случайного перебора.

Обозначим  $G(n_i) = \sum_{k=0}^{q-1} \tilde{u}_k(\tilde{u}_k - 2y_{n_i+k})$ , где  $\tilde{u}_k = y_{n_1^*+k}$ ,  $k = 0, \dots, q-1$ , является

компонентой неизвестной волны  $U$ . Следовательно, задача (6) примет следующий вид на множестве  $\Omega_M$ :

$$\tilde{S}_1(n_1, \dots, n_M) = \sum_{i=1}^M G(n_i) \rightarrow \min_{\Omega_M}. \quad (7)$$

Функционал (6) является сепарабельным и аддитивным, поэтому задачу (7) можно решать методом динамического программирования и в соответствии с принципом оптимальности организовать многошаговый процесс минимизации [5]. Такой подход в данной работе используется для решения задач (5), (6).

Для сокращения перебора изначально необходимо определить время вступления волновой формы по первому каналу при  $M = 1$  и после этого решать задачу совместного определения времён приходов волн по всем каналам. Поскольку форма волнового импульса априори неизвестна, то обнаружение его в шумах базируется на применении энергетического критерия [6]:

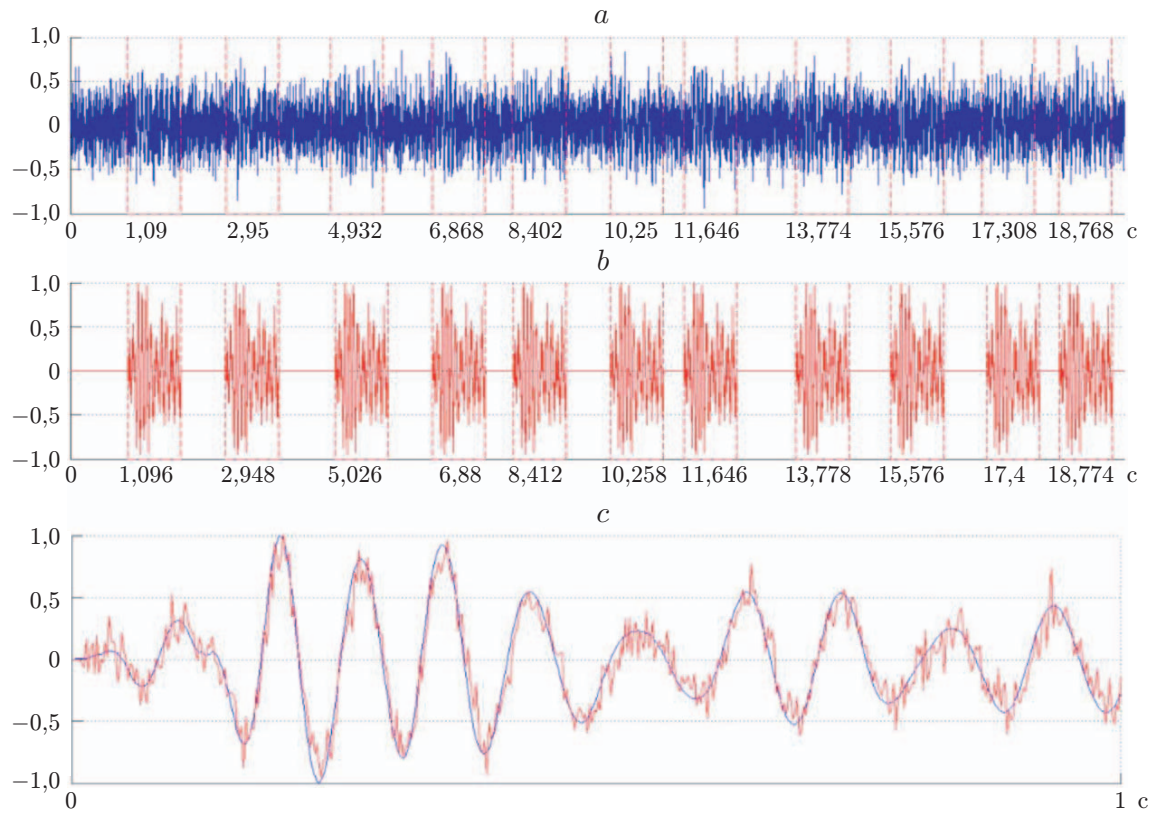
$$U = \sum_{n=1}^N \frac{\lambda_n |V_n|^2}{2(\lambda_n + D)} \geq G_0. \quad (8)$$

Здесь  $V_n$  — образцы огибающей входного сигнала (1);  $D$  — спектральная плотность мощности внешнего шума;  $G_0$  — порог обнаружения, выбираемый по одному из статистических критериев. Параметры  $\lambda_n \sim 1/\Delta f$  по отношению к сигналу на выходе узкополосного фильтра с оператором  $L$  в (2) и полосой пропускания  $\Delta f$ . Кроме того, должно быть выполнено условие:  $\Delta f T \gg 1$  [6]. С учётом выполненных замечаний и решения задачи обнаружения (8) получаем оценку  $\hat{n}_1$ . По найденному значению  $\hat{n}_1$  решением задачи 1 находится набор  $(y_{\hat{n}_1}, \dots, y_{\hat{n}_1+q-1})$ . Далее, используя этот набор, решаем задачу (2), положив  $U = (y_{\hat{n}_1}, \dots, y_{\hat{n}_1+q-1})$ . Наконец, по найденному набору  $(\hat{n}_1, \dots, \hat{n}_{\hat{M}})$  вычисляем оценки компонент вектора  $\hat{U}$ . Оптимальные значения компонент искомого набора  $\hat{U} = (\hat{u}_0, \dots, \hat{u}_{q-1})$ , соответствующего волновой форме, находятся по формуле

$$\hat{u}_k = \frac{1}{\hat{M}} \sum_{m=1}^{\hat{M}} y_{\hat{n}_m+k}, \quad k = 0, \dots, q-1, \text{ где } n_m, m = 1, \dots, \hat{M}, \text{ а } \hat{M} \text{ — элементы оптимального}$$

решения задачи (7).

**Численное моделирование алгоритма поисковой оптимизации.** Для проверки работоспособности и исследования точности работы предложенного алгоритма выполнены численные эксперименты с моделированием различных волновых форм. Задавались образцы реальных волновых форм, одинаковых по форме и длительности и осложнённых гауссовым шумом разного уровня, различные соотношения сигнал/шум. По сгенерированному набору  $(n_1, \dots, n_M)$  случайных номеров формировалась последовательность компонент вектора  $\mathbf{X}$ . В соответствии с принятой моделью анализируемая последовательность компонент вектора  $\mathbf{Y}$  синтезировалась как сумма вектора  $\mathbf{X}$  и гауссского вектора  $\mathbf{\Xi}$  с параметрами распределения  $(0, \sigma^2 I)$ . В качестве примера на рис. 1 приведены в графическом виде результаты совместного обнаружения и выделения волновых форм с помощью



*Рис. 1.* Соотношение сигнал/шум, равное 1,25;  $T_{\min} = 1,3$  с;  $T_{\max} = 2,2$  с;  $q = 1$  с;  $N = 20$  с;  $M = 11$ ;  $\delta_U(M) = 6 \cdot 10^{-2}$ : *a* — сгенерированная модельная зашумлённая последовательность импульсов в шумах; *b* — последовательность импульсов после применения алгоритмов; *c* — заданная и вычисленная формы импульса

алгоритма решения задачи (2). На рис. 1 изображены: *a* — сгенерированная модельная зашумлённая последовательность; *b* — последовательность, найденная алгоритмом решения задачи (2); *c* — результаты численного оценивания погрешностей выделения одинаковых волновых форм в квазипериодической последовательности на фоне шума для случая отношения сигнал/шум, равного 1,25.

Времена вступлений для всех выделенных импульсов по отношению к обеим последовательностям проставлены на оси абсцисс в начале каждого из импульсов. В серии численных экспериментов показано, что средняя абсолютная погрешность оценивания времени вступления волновой формы составляет 0,047 с.

Для проверки качества алгоритма оценивания волновых форм использовалась мера среднеквадратического отклонения в виде  $\delta_U(M) = \frac{1}{q} \sum_{k=0}^{q-1} (u_k - \hat{u}_k)^2$ , где  $u_k$ ,  $\hat{u}_k$ ,  $k = 0, \dots, q - 1$ , — заданные и вычисленные компоненты волновой формы  $U$ . Относительная среднеквадратическая погрешность оценивания волновой формы для данных на рис. 1, *c* не превышает 6 %.

**Эксперименты и результаты.** Для оценивания эффективности алгоритмов и реализующих их программ в определении точности координат источника проведены численные и полевые эксперименты с применением пространственно распределённых калибровочных взрывов с тротиловым эквивалентом 400–2600 г и регистрирующей системы в кре-

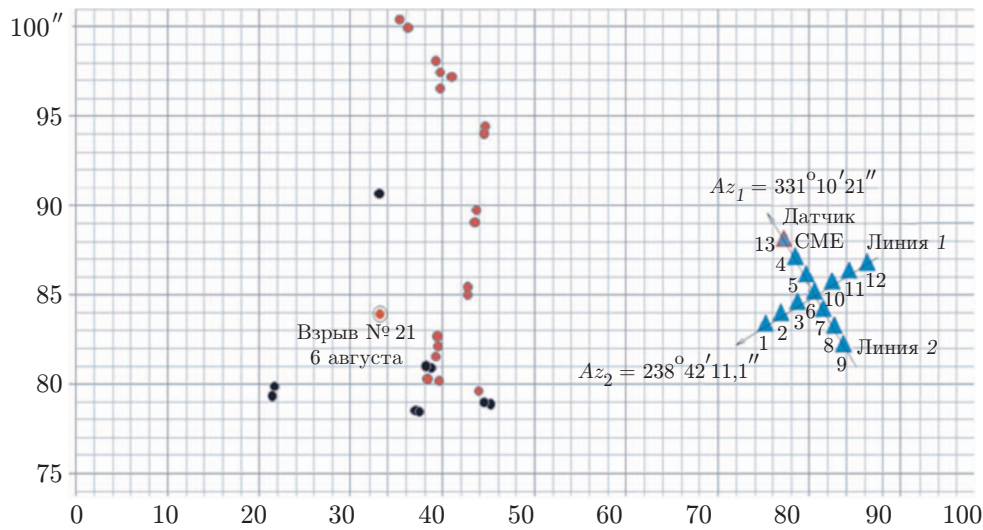


Рис. 2. Схема расстановки: о — калибровочные взрывы;  $\Delta$  — регистрирующие датчики

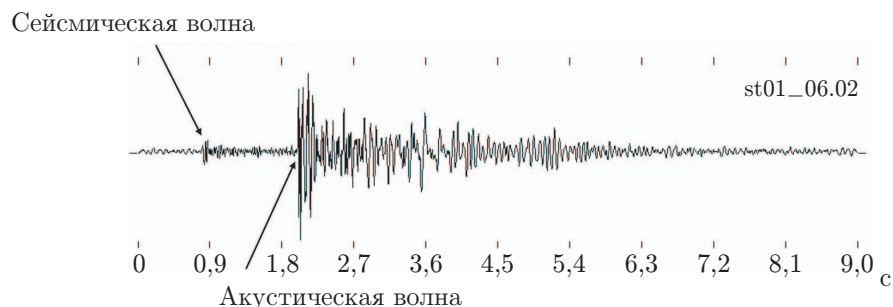


Рис. 3. Пример сейсмограммы с сейсмической и акустической волнами от небольшого взрыва на расстоянии 570 м

стообразной расстановке в каждой из линий семи сейсмических датчиков с шагом 34,5 м. Схема расположения источников и регистрирующих датчиков представлена на рис. 2.

Пространственные характеристики расстановки привязаны к карте местности, а числовые — к значениям координат на карте в секундах. В крестообразной расстановке на линиях 1, 2 используются семь сейсмических датчиков с шагом расстановки 34,5 м. Обе линии образуют сейсмическую антенну. В качестве примера на рис. 3 приводится запись сигнала (сейсмограммы) на одном из датчиков от поверхностного взрыва мощностью 200 г в тротиловом эквиваленте на расстоянии 570 м. Особенность сейсмограммы состоит в том, что она содержит первичную низкоамплитудную сейсмическую волну и высокоамплитудную приповерхностную акустическую волну. Точность нахождения разности времён пробега между обоими типами волн определяет точность оценки расстояния от источника до приёмника.

С учётом этого и оценивания вектора времён вступлений волн в (1) в пределах сейсмической антенны решается задача геолокации.

**Численное моделирование.** Целью моделирования является оценивание потенциальных погрешностей определения координат при заданных точностях нахождения времён пробега волн до датчиков и рассчитанной из эксперимента скорости распространения сей-

смических волн. Моделирование основывается на решении обратной задачи (1) методом сингулярного (SVD) разложения [7–10]. Наибольшее распространение в настоящее время получило синонимичное название метода — метод псевдообращения (или обобщённого обращения). Создана вычислительная программа в среде MATLAB для реализации расчётов на основе этого метода. Расчёты по описываемой программе состоят в следующем: вводятся известные координаты 21 точки взрывов и мест расположения датчиков, затем по известной (определенной из эксперимента) скорости сейсмической волны рассчитываются времена её пробега от точек взрыва до сейсмодатчиков. Далее на эти времена «набрасываются» случайные погрешности в пределах от  $-0,5\%$  до  $+0,5\%$  времени пробега и уже эти времена задаются в программе в качестве времён вступлений сейсмических волн от взрывов на сейсмодатчиках. Программа рассчитывает для каждого взрыва следующие выходные данные: расстояние до источника — в метрах, азимутальное направление на источник — в градусах, невязку (погрешность определения координат расстояния) — в метрах. Как следует из результатов вычислений, погрешности определения расстояний при заданных погрешностях на времена вступления волн не более  $\pm 0,5\%$  не превышают  $1,6\%$  по дальности и  $2\%$  по азимуту. Результаты численного моделирования иллюстрируют потенциальные возможности точности геолокации. В реальной ситуации повышенные внешние шумы могут ухудшать точностные характеристики.

*Полевые эксперименты и результаты.* Рассмотренные выше результаты численного эксперимента являются дополнением к полевому эксперименту, в котором координаты источников оценивались на основе измерения времён вступлений сейсмических и акустических волн. Вектор времён вступлений волн  $\mathbf{t} = (t_1, t_2, \dots, t_N)$  в (1) от каждого из взрывов на совокупности из  $N$  датчиков определяется в виде решения рассмотренных задач (5)–(7). При этом предварительно применяется трансформация параллельных записей в последовательные с фиксированным интервалом между ними, который впоследствии учитывался при расчёте истинных времён вступлений волн. По измеренным временам  $\mathbf{t}$  методом псевдообращения определяются координаты источников в полярной системе координат путём решения (1). В таблице приведены результаты расчётов, сопоставление их с соответствующими данными из цифровой карты местности по GPS, погрешности оценивания. Сравнение экспериментально полученных значений погрешностей (см. таблицу) с данными численного моделирования показывает, что расхождение между ними не хуже  $1\%$ . В первую очередь, это определяется точностью решения задачи (5).

Таблица

**Погрешности между расчётными и полученными по GPS координатами**

Номер источника	Дальность, м			Азимут, град		
	Расчётная	Данные GPS	Погрешность	Расчётный	Данные GPS	Погрешность
1	499,48	512,37	12,92	256,92	253,49	-3,43
2	569,65	576,28	6,63	264,35	260,16	-4,19
3	559,34	570,52	11,18	262,79	261,60	-1,19
4	563,39	570,70	7,3	262,79	263,09	0,3
5	509,71	519,66	9,95	269,00	269,30	0,3
6	509,20	521,51	12,31	270,18	270,48	0,3
7	520,02	533,53	13,5	282,59	281,20	-1,39
8	526,79	538,05	11,2	283,57	283,25	-0,32
9	575,23	586,68	11,45	295,16	295,16	0
10	581,15	593,02	11,8	296,80	296,27	-2
11	709,82	710,77	0,95	300,77	300,02	-0,75
12	731,04	729,54	-1,5	300,77	300,93	0,16

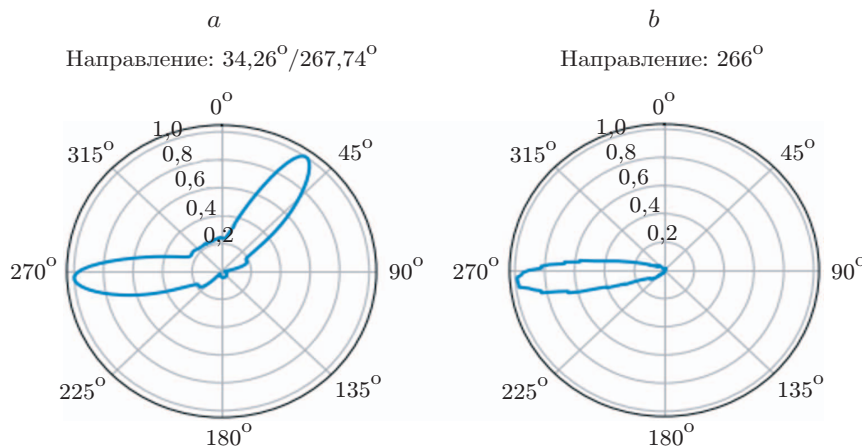


Рис. 4. Результаты вычисления КНД: *a* — для линий расстановки 2; *b* — для линий расстановки 1, 2

Кроме рассмотрения полученных численных оценок местоположения источника, представляет интерес оценка функции направленности на источник, зависящей от временной задержки прихода волн  $\Delta t$  между двумя соседними датчиками, а также длины базы расстановки датчиков с шагом расстановки  $\Delta r$ . Такая функция описывает диаграмму направленности на источник:

$$E_{\text{сум}} = \sum_n (f_1(t_n) + f_2(t_n + \Delta t) + \dots + f_k(t_n + \Delta t(k-1)))^2.$$

Её нормированное значение характеризует коэффициент направленного действия (КНД):  $\text{КНД} = E_{\text{сум}}/E_{\max}$ . Частные результаты вычисления КНД по данным регистрации на линии 2 и совместно линий 1, 2 (см. рис. 2) представлены на рис. 4, *a*, *b* соответственно. Результаты получены для исходного азимутального значения на источник по данным GPS, равного  $267^\circ$ . Вычисленные азимутальные значения, определяемые в максимумах КНД, составляют  $267,74$  и  $266,00^\circ$  соответственно. Как видно из рис. 2 и 4, абсолютная погрешность не превышает  $1^\circ$ .

**Заключение.** Предложен новый численный подход к решению задач геолокации мощных импульсных источников сейсмических и акустических волн на основе совмещения методов решения обратных задач и задачи поисковой оптимизации при определении времён вступлений волн в целом на группе пространственно распределённых датчиков. Проведено численное моделирование, и выполнены экспериментальные исследования предлагаемых методов для оценивания точности пространственной локализации источников на примере использования калибровочных, пространственно распределённых взрывов. Так, погрешности определения местоположения пространственно распределённых источников на площасти размером  $400 \times 600$  м с помощью  $X$ -образной расстановки сейсмической группы размером  $200 \times 200$  м при расстоянии от источника до датчика 1000 м не превышают 2,5 % по дальности и 1,6 % по азимуту.

**Финансирование.** Исследования выполнены в рамках государственного задания Института вычислительной математики и математической геофизики СО РАН (FWNM-2025-0004).

## СПИСОК ЛИТЕРАТУРЫ

1. Voskoboinikova G. M., Karavaev D. A., Khairetdinov M. S. Numerical Simulation of Acoustic Waves Propagation in an “Atmosphere-Forestland-Ground” System // Journ. Appl. and Industrial Math. 2019. **13**, Iss. 1. P. 175–183. DOI: 10.1134/S1990478919010186.
2. Voskoboinikova G., Imomnazarov K., Mikhailov A., Tang J.-G. Influence of Snow Cover on the Seismic Waves Propagation // Proc. of the 6th Int. Conf. Numerical Analysis and Applications (NAA). Lozenetz, Bulgaria, 15–22 June, 2016. P. 730–736.
3. Красненко Н. П., Раков Д. С. Влияние снежного покрова на приземное распространение звуковых волн в атмосфере // Сб. тр. XIX сессии РАО. Нижний Новгород: ГЕОС, 2007. С. 172–175.
4. Гольдин С. В. Интерпретация данных сейсмического метода отражённых волн. М.: Недра, 1979. 344 с.
5. Воскобойникова Г. М., Хайретдинов М. С. Апостериорные алгоритмы для решения задач совместного обнаружения и оценивания сейсмических волн // Сибирский журнал индустриальной математики. 2015. **18**, № 4. С. 9–17.
6. Хелстром К. Статистическая теория обнаружения сигналов: Пер. с англ. Г. Ю. Кобзарева; под ред. Ю. Б. Кобзарева. М.: Изд-во иностр. лит., 1963. 431 с.
7. Тихонов А. Н., Арсенин В. Я. Методы решения некорректных задач. М.: Мир, Гл. редакция физ.-мат. лит., 1979. Изд. 2-е. 285 с.
8. Яновская Т. Б., Порохова Л. Н. Обратные задачи геофизики. 2-е изд., доп. и перераб. СП.-б.: Изд-во СПбГУ, 2004. 214 с.
9. Кахранер Д., Моулер К., Нэш С. Численные методы и программное обеспечение: Пер. с англ., под ред. Х. Д. Икрамова. М.: Мир, 2001. 575 с.
10. Форсайт Дж., Малькольм М., Моулер К. Машины методы математических вычислений. М.: Мир, 1980. 280 с.

Поступила в редакцию 11.04.2025

После доработки 28.04.2025

Принята к публикации 29.04.2025

---